

تحلیل و بررسی بار ناشی از انفجار سطحی روی سازه زیرزمینی

محمدحسین تقی پارسا^۱، صفا پیمان^{۲*}

۱- دکتری سازه، دانشگاه جامع امام حسین (ع)، گروه عمران،

۲- استادیار، دانشگاه جامع امام حسین (ع)، گروه عمران،

mh.taghavi@stu.qom.ac.ir

تاریخ دریافت: ۹۸/۹/۱۴ تاریخ پذیرش: ۹۸/۲/۲۰

چکیده

پدیده انفجار از نوع مسائل با نرخ کرنش بالا است که برای حل آن نیاز به تحلیل دینامیکی هست. همچنین با توجه به اندرکنش بین سازه‌های زیرزمینی و خاک تحلیل این سازه‌ها تحت اثر هر نوع بار از نوع تحلیل غیرخطی است. به این ترتیب تحلیل سازه‌های زیرزمینی تحت اثر انفجار از نوع مسائل با نرخ کرنش بالا است که برای حل آن نیاز به تحلیل دینامیکی غیرخطی می‌باشد. دو روش حل ضمنی و صریح برای تحلیل دینامیکی وجود دارد که با توجه به شرایط مسائل انفجار تحلیل آنها به صورت حل انتگرالی صریح است. روش‌های شبیه‌سازی عددی به عنوان یک روش نوین در محاسبه بارهای دینامیکی غیرخطی کاربرد وسیعی یافته‌اند. بر اساس نتایج پژوهشگران از میان نرم‌افزارهای صریح موجود نرم‌افزار اتوداین به دلیل قدرت زیاد در حل مسائل با نرخ کرنش بسیار بالا نتایج مناسبی از شبیه‌سازی و تحلیل مسائل انفجار بدست می‌دهد. از طرفی بارگذاری انفجاری سازه‌های زیرزمینی غالباً بر اساس رابطه‌های حاصل از پژوهش‌های نظری و تجربی انجام می‌شود. در این پژوهش از روش شبیه‌سازی عددی برای تحلیل و شبیه‌سازی اثر انفجار سطحی روی سازه زیرزمینی استفاده شده است. همچنین کالیه مراحل شبیه‌سازی با استفاده از هیدروکد AUTODYN انجام شده است. به منظور تحلیل چگونگی بارگذاری، پاسخ سازه زیرزمینی در اعماق متفاوت بررسی شده و نتایج عددی با روابط ارائه شده در دستورالعمل ارتش آمریکا و نیز منابع معتبر علمی مقایسه شده است. در نهایت پیشنهاداتی در راستای بهبود بارگذاری سازه‌های مذکور در طراحی‌ها ارائه شده است.

واژگان کلیدی: سازه زیرزمینی، بارگذاری انفجاری، انفجار سطحی، پارامترهای شوک زمینی، نرم‌افزار اتوداین.

۱- مقدمه

انتشار موج شوک در خاک، اندرکنش خاک و سازه زیرزمینی و پاسخ دینامیکی سازه می‌شود [۵].

در این راستا آقایان کلاتر و استال [۶] از هیدروکد اتوداین برای مدل کردن موج انفجار استفاده کردند و توانستند فشار نهایی بیشینه را در برخی از نقاط سازه طراحی شده محا سبه کنند.

آمیروزینی و آذسیب [۷] از مدل سه بعدی نرم افزار اتوداین برای محاسبه پارامترهای فشار نهایی استفاده کردند و توانستند نتایج فشار نهایی بیشینه را با رابطه بیان شده توسط آقای هنریچ [۸] مقایسه کند.

آقایان بورگرس و وانتومی [۹] نیز برای مدل سازی موج انفجار ایجاد شده در خاک از نرم افزار اتوداین استفاده کردند. مطالعات آنها نشان داد که ابعاد و اندازه حفره ایجاد شده در خاک ناشی از انفجار تابع عوامل خاصی از جمله نوع و مشخصات خاک، شکل انفجار، جرم ماده منفجره، مشخصات دینامیکی خاک و هوا و عمق انفجار است.

همچنین لاسونی و همکارانش [۱۰] برای اطمینان از درستی نتایج عددی مبنی بر حفره ایجاد شده ناشی از انفجار در خاک، در آزمایشگاه یک انفجار روی سطح خاک را انجام داده و نتایج آن را با هر یک از دو مدل لاگرانژی و اویلری خود مقایسه کرده و مقدار تخریب را در سه حالت باهم مقایسه کرdenد.

آنیبان [۱۱] نیز حفره به وجود آمده ناشی از انفجار بر روی سطح زمین و آثار آن روی تونل زیرزمینی را در حالت عددی، در دو حالت دوبعدی و سه بعدی به دست آورد. وی از نتایج مدل دوبعدی خود برای تخمین ابعاد حفره به وجود آمده ناشی از انفجار و از نتایج مدل سه بعدی خود برای بررسی اثر انفجار روی تونل استفاده کرد. همچنین در انتها نتایج خود را با آزمایش لاسونی [۱۰] ارزیابی کرد.

یوینگ یانگ با همکاری آقایان ژی و وانگ [۱۲] ضمن بررسی نتایج یک مطالعه تجربی روی یک سازه مترو، پاسخ دینامیکی تونل زیرزمینی شبیه سازی شده تحت اثر انفجار را بررسی کردند. آنها با مدل سازی عددی، اثر تغییرات عمق دفن سازه تحت اثر انفجار را مطالعه نمودند.

مازک و المانی [۱۳] با انجام یک مطالعه عددی روی خط

اغلب سازه های زیرزمینی با هدف مقاومت در برابر آثار سلاح های نفوذکننده دقیق و بمبهای سنگین طراحی و در خاک احداث می شوند. عموماً عمق سازه های مزبور زیاد است و امکان برخورد موشک به سازه اصلی وجود ندارد. بر این اساس، طراحی این سازه ها برای بارهای ناشی از انفجار انجام می گیرد.

بارگذاری سازه های زیرزمینی بیشتر بر اساس رابطه های حاصل از پژوهش های نظری و تجربی انجام می گیرد. از جمله می توان به پژوهش های آقایان اسمیت و هترینگتون [۱] در اواخر دهه ۹۰ میلادی و نیز در ادامه آقای بولسون [۲] اشاره نمود که پژوهش های گسترده ای در زمینه انفجار در خاک انجام داده اند. در این پژوهش نیز از نتایج پژوهش های آنها برای به دست آوردن پارامترهای شوک زمینی استفاده شده است.

در حال حاضر مهم ترین مرجع بارگذاری انفجاری در زمینه سازه های زیرزمینی، آئین نامه (TM5-855-1) امریکا است که توسط ارتش ایالات متحده امریکا ارائه شده است [۳]. همچنین آئین نامه انجمن مهندسین عمران امریکا (ASCE) در زمینه بارهای حاصل از انفجارهای هسته ای قابل دسترس برای عموم مهندسان است [۴]. در این پژوهش نتایج به دست آمده از تحلیل عددی در نرم افزار اتوداین با روابط تجربی آئین نامه (TM5-855-1) مقایسه شده است.

علاوه بر روش های تحلیلی، به تازگی روش های حل عددی متنوعی با توجه به نوع سیستم سازه های به کار گرفته شده است. از این رو با استفاده از هیدروکد ها و نرم افزارهای اجزاء محدود نیز می توان بارهای انفجاری وارد بر این سازه ها را محاسبه نمود. هیدروکد به نرم افزار رایانه ای گفته می شود که قابلیت محاسبه تنش، کرنش و پارامترهای مربوط به امواج دینامیکی را بر حسب مکان و زمان داشته باشد [۵].

مبناي اغلب روش های عددی در یک طراحی جامع و دقیق از سازه زیرزمینی برای دستیابی به رفتار واقعیت بینانه سازه در برابر انفجار، شبیه سازی پدیده انفجار در یک فرآیند چهار مرحله ای است. بر طبق این فرآیند یک شبیه سازی از سازه زیرزمینی تحت اثر انفجار شامل چهار مرحله شکل گیری چاله انفجاری،

زمین را نشان می‌دهد. بر اساس آئین‌نامه امریکا مقدار آن با توجه به نوع انفجار تعیین می‌شود. در یک انفجار سطحی به طور تقریبی مقدار ضریب جفت‌شدگی برابر با $4/0$ در نظر گرفته می‌شود. همچنین پارامترهای (W) وزن ماده منفجره بر حسب کیلوگرم و (R) فاصله از محل انفجار به متر، (C) سرعت انتشار موج انفجار بر حسب متر بر ثانیه و (P) چگالی خاک بر حسب کیلوگرم بر متر مکعب است. (n) ضریب تضعیف خاک است که وابسته به نوع خاک بوده و مقدار آن با استفاده از جدول (۱) به دست می‌آید. در این پژوهش برای ضریب تضعیف با توجه به نوع خاک که از جنس ماشه بسیار متراکم است مقدار $2/5$ در نظر گرفته شده است.

از طرفی با استفاده از آئین نامه (TM5-855-1) امریکا می توان مقادیر فشار و سرعت ذرهای بیشینه را بر حسب فاصله مقیاسی و نوع خاک به وسیله نمودارهای بیشینه فشار بر حسب انواع خاک و بیشینه سرعت ذرهای بر حسب انواع خاک در آئین نامه TM5-855-1 تعیین نمود. [3]

۲-۲- اعمال بار ناشی از انفجار

روش های مختلفی برای اعمال بار ناشی از انفجار بر روی پو شش بتنی سازه های زیرزمینی وجود دارد. روش های موجود طراحی برای حالت با محدوده مقیاسی ($Z > 1.0$) به کار می روند. همچنین برای حالت ($Z \leq 1.0$) آزمایش های متعددی انجام شده است اما شدت بارگذاری در این شرایط مقاومت در پر ابر بارهای وارد شده را سیilar دشوار کرده است.

در آئین نامه (TM5-855-1) امریکا روش برآورد بار ناشی از انفجار وارد بر سازه، استفاده از فشار بازتابی (P_r) با فرمول $P_r = 1.5 P_o$ تقریبی است. در این روش پس از تعیین فشار خاک در عمق مورد نظر (P_p) با استفاده از رابطه (۳) و نیز عوامل ضریب افزایشی (۱/۵) برابری، فشار وارد شده بر دیوارهای سازه مشابه با آنچه در شکل (۱) نشان داده شده، تعیین می شود.

$$P_p = 0.407f(\rho c) \left(\frac{W}{W^{1/3}} \right) \quad (3)$$

در رابطه فوق (P_p) فشار در اعمق خاک و (R) فاصله از

سه متروی شهر قاهره مصر، عملکرد سازه تونل مترو را در مقیاس یک دهم با استفاده از مدل دو بعدی المان محدود مدل‌سازی و بررسی نمودند. آنها در مطالعات عددی خود مقادیر بارهای وارده در اعماق مختلف زمین در اطراف تونل زیرزمینی را مورد بررسی قرار دادند.

روهیت تیواری با همکاری چاکرابورتی و ماتساگار [14] به بررسی آنالیز دینامیکی یک تونل زیرزمینی بتن مسلح تحت اثر انفجار با استفاده از مدل سازی عددی سه بعدی و در نظر گرفتن اندرکنش خاک و سازه پرداختند. عمدۀ توجه آنها میزان جابه‌جایی سقف سازه تونل تحت اثر انفجار ماده منفجره در فوacial مختلف نسبت به سازه زیرزمینی معطوف شده بود.

بررسی‌های صورت گرفته نشان می‌دهد پژوهش‌های علمی در زمینه بارگذاری انفجاری سازه‌های زیرزمینی و چگونگی اعمال بار انفجار روی این نوع از سازه‌ها و عملکرد آنها کمتر مورد توجه پژوهشگران بوده است. در این پژوهش با توجه به روابط تحلیلی و تجربی موجود، با استفاده از شبیه‌سازی انفجار سطحی توسط نرم‌افزار اتو داین، ضمن بررسی پارامترهای شوک زمینی به روش عددی و مقایسه نتایج به دست آمده با روش‌های تحلیلی و تجربی، به مطالعه و بررسی بارگذاری سازه

۲- مبانی پژوهش

۱-۲- پارامترهای شوک زمینی

پارامترهایی شوک زمینی مانند فشار بیشینه و سرعت ذرات خاک با توجه به نتایج مطالعات اسمیت و هترینگتون به ترتیب با روابط (۱) و (۲) به دست می‌آیند [۱]:

$$P_o = \rho \times C \times u \quad (1)$$

$$u = 48.8f \left(\frac{W^{1/3}}{W^{1/3}} \right) \quad (2)$$

در رابطه‌های بالا فشار بیشینه با (P_0) و سرعت ذره‌ای بیشینه با (u) نشان داده شده است. (f) ضریب جفت شدگی زمین و ماده منفجره است که میزان پیوستگی ماده منفجره با

در این پژوهش سازه زیرزمینی در یک محیط نیمه متناهی فرض شده است. در نرم افزار اتو داین برای اعمال چنین شرایط مرزی در مدل های لاغرانژی از شرایط مرزی ترنسیمیت استفاده می شود.

۲-۳- مدل سازی خاک

خاک مورد مطالعه از جنس ماسه متراکم با مشخصات جدول (۱) است. برای مدل کردن خاک، معادله حالت تراکم (Compaction) مطابق رابطه (۴) استفاده شده است. در این معادله حالت (C) سرعت صوت و (P^0) چگالی آن است [15].

$$\frac{\partial P}{\partial p} = C^2(p) \quad (4)$$

معادله حالت تراکم تمرکز بیشتری روی بارگذاری و باربرداری مواد متخلخل دارد. در این معادله حالت سرعت صوت بر حسب دانسیته تعریف می شود. همچنین به کمک معادله حالت فوق در اتو داین وابستگی سرعت صوت به چگالی ماسه به کمک ده نقطه (C, P^0) تعریف می شود.

جدول ۱. مشخصات پارامترهای خاک مدل سازی شده

Elasticity Modulus (N/m^2)	Density (Kg/m^3)	Seismic speed (m/s)	Poisson's Ratio (V)	Attenuation coefficient (α)	Type
6.25×10^8	2641	478.68	0.25	3.25	Dense Sand

Table 1. Properties of soil considered in model

همچنین به عنوان مدل مقاومتی برای خاک مورد مطالعه از مدل (MO-Granular) استفاده شده است. این مدل بسط مدل دراکر-پراگر است به شکلی که آثار مرتبط با مواد دانه ای را در نظر می گیرد. در این مدل اثر کار سختی، دانسیته سختی و مدول بررشی متغیر در نظر گرفته می شوند. همچنین برای حذف المان های بسیار اعوجاج یافته از روش فرسایش ناگهانی نرم افزار استفاده شده است [16].

۳-۳- مدل سازی پوشش بتونی

پوشش بتونی سازه زیرزمینی در داخل نرم افزار اتو داین از نوع

منبع انفجار است. (f) ضریب جفت شدگی است. همچنین (P^C) مقاومت آکوستیک و (n) ضریب تضعیف هستند که با توجه به مشخصات خاک مورد آزمایش تعیین می شود [3].

شکل ۱. نمایی شماتیک از چگونگی اعمال بار به سازه زیرزمینی مطابق روش

آئین نامه (۱-۱) (TM5-855-1) [۳]

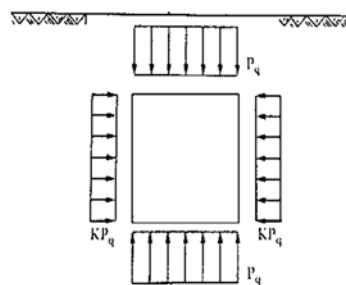


Fig.1. Schematic view of loads applied to the structure accordance with TM5-855-1

در ضمن در روابط و نمودارهای فوق عمق مقیاسی (Z) برای یک انفجار مطابق تعریف برابر با ($Z = \frac{d}{W^{1/3}}$) است.

همانگونه که مشخص است این عمق تابعی از (d) فاصله از مرکز انفجار و (W) وزن خرج انفجار است.

۳- تحلیل عددی

۱-۳- مدل هندسی

در این پژوهش سازه زیرزمینی تحت اثر انفجار با استفاده از نرم افزار اتو داین و به صورت سه بعدی مدل سازی شده است. مدل شامل سازه زیرزمینی بتون مسلح، خاک ما سه ای به عنوان محیط انتشار موج انفجار و همچنین ماده منفجره از جنس TNT به صورت خرج انفجاری بدون پوشش در نظر گرفته شده است. سازه زیرزمینی دارای ارتفاع ۳ متر، دهانه ۴ متر و طول ۵ متر با دیوارهایی به ضخامت $5/0$ متری است که با استفاده از دو لایه صفحه فولادی به ضخامت $1/0$ متری مسلح شده اند. خرج انفجاری در وزن های متفاوت بر حسب کیلوگرم مدل سازی شده است.

با توجه به آنکه موج شوک ناشی از انفجار در محیط خاک منتشر شده و به سطح بیرونی سازه زیرزمینی برخورد می کند، برهم کنش سازه بتون مسلح و نیز خاک اطراف آن از نوع لاغرانژی تعریف شده است.

انرژی اولیه ماده منفجره است.

۵-۳-۲- مدل سازی مسلح کننده

مسلح کننده‌ها از جنس فولاد می‌باشند. برای تعریف آن‌ها

در کتابخانه نرم‌افزار از ماده Steel4340 با معادله حالت خطی و مدل مقاومتی جانسون-کوک با در نظر گرفتن شکست ناشی از کرنش پلاستیک استفاده شده است [14].

۴- درستی آزمایی

برای بررسی صحت نتایج به دست آمده از نرم‌افزار اتوداین، مقادیر حداکثر فشار و سرعت لحظه‌ای ثبت شده توسط سنجه‌ها در اتوداین با نتایج روابط اسمیت و آئین‌نامه (TM5-855-1) مقایسه می‌شود.

۴-۱- درستی آزمایی فشار

با استفاده از مدل سازی عددی، مقادیر بی‌شینه فشار وارد شده بر سازه در اعماق ۱۰ تا ۴۰ متری زمین تحت اثر انفجار ۵۰۰ کیلوگرم از ماده منفجره TNT در سطح زمین قرار دارد، توسط نرم‌افزار اتوداین تعیین شده و نتایج حاصل در جدول (۲) آمده است.

جدول ۲. نتایج بی‌شینه فشار پو شش بتنی سازه زیرزمینی تحت اثر انفجار سطحی با خروج ۵۰۰ کیلوگرم TNT

P_o (MPa)			$C(m/s)$	f_f	Z (m/k $g^{1/3}$)	R (m)	No .
Numerical	Smith	TM5- (855-1)					
2/3	1/5	3	495/43	0/4	1/25	10	1
0/37	0/25	0/4			2/5	20	2
0/14	0/1	0/18			3/75	30	3
0/098	0/4	0/1			5	40	4

Table 2. Results of maximum pressure on concrete cover of underground structure under surface explosion with 500 Kg TNT

۴-۲- درستی آزمایی بی‌شینه سرعت ذره‌ای

به منظور مقایسه نتایج عددی با منابع تحلیلی و تجربی، مقادیر سرعت ذره‌ای موج وارد بر پو شش بتنی سازه مورد مطالعه در اعماق ۱۰ تا ۴۰ متری زمین تحت اثر انفجار سطحی با وزن خروج ۵۰۰ کیلوگرمی از ماده منفجره TNT در نرم‌افزار اتوداین مدل سازی شد. نتایج مربوط به بی‌شینه مقادیر به دست آمده از سه روش مذکور در جدول (۳) به

Conc35 با معادله حالت پی-آلfa و مدل مقاومتی و شکست RHT-Concrete تعریف شده است. معادله حالت پی-آلfa دسته

$$P = X_1 + X_2 + X_3$$

$$\left\{ \begin{array}{l} X_1 = A \left(1 - \frac{\omega p}{R_1 \rho_0} \right) \times e^{\left(-R_1 \frac{\rho_0}{\rho} \right)} \\ X_2 = B \left(1 - \frac{\omega p}{R_2 \rho_0} \right) \times e^{\left(-R_2 \frac{\rho_0}{\rho} \right)} \\ X_3 = \frac{\omega p^2}{\rho_0} E_{m_0} \end{array} \right. \quad (4)$$

دیگری از معادلات حالت تراکم است. با وجود آنکه معادلات حالت تراکم و تکه‌ای خطی برای مواد متخلخل مانند شن و ما سه در فشارهای کم نتایج خوبی دارند ولی برای مدل سازی در تنش‌های بالا از معادله حالت پی-آلfa بر حسب فشار و دمای مشخص استفاده می‌شود [16].

با توجه به معادله (۵) در نرم‌افزار اتوداین رابطه بین تنش با کرنش، نرخ کرنش، انرژی داخلی و خسارت برای بتن با استفاده از معیار RHT بیان می‌شود. این مدل مقاومتی توسط رمپلینگ [17] ارائه شده است و رابطه بین سختی فشاری، سختی کرنشی و نرخ آن و سه ثابت وابسته به تنش اصلی و همچنین شاخص آسیب را به یکدیگر توصیف می‌کند. این ثوابت وابسته نیز شامل بر سطح شکست، حد الاستیک و مقاومت باقیمانده می‌باشند.

$$\sigma_{ij} = f(\varepsilon_{ij}, \dot{\varepsilon}_{ij}, E, D) \quad (5)$$

۴-۳- مدل سازی ماده منفجره

برای مدل سازی ماده منفجره از خروج انفجاری TNT با معادله حالت JWL استفاده شده است. رابطه (۶) معادله حالت جونز ویکنتر-لی (JWL) نامیده می‌شود که به صورت گسترده برای محاسبه فشار ناشی از یک انفجار کامل در هیدرولکدها و مدل سازی‌ها به کار می‌رود [14].

در رابطه (۶) A, B, R_1, R_2, ω ثوابت مصالح و ρ_0 چگالی اولیه ماده منفجره و ρ چگالی ناشی از محصولات انفجار است و نسبت آنها در اینجا برابر یک درنظر گرفته می‌شود. (E_{m_0}) نیز

محیط اطراف پراکنده شده و در راستای عمودی به سمت لایه‌های درونی خاک منتقل می‌شود.

۳-۵-بررسی بارگذاری عددی

به منظور بررسی بارگذاری عددی، نتایج حاصل از بررسی عددی سازه زیرزمینی بتن مسلح در اعماق ۱۰ تا ۴۰ متری تحت اثر انفجار سطحی با وزن خرچ ۵۰۰ کیلوگرمی از ماده منفجره TNT با نتایج آئین‌نامه امریکا مقایسه شد.

شکل ۲. تغییرات فشار خاک تحت انفجار سطحی در زمان‌های مختلف و مراحل شکل‌گیری چاله انفجاری در مدل‌سازی عددی

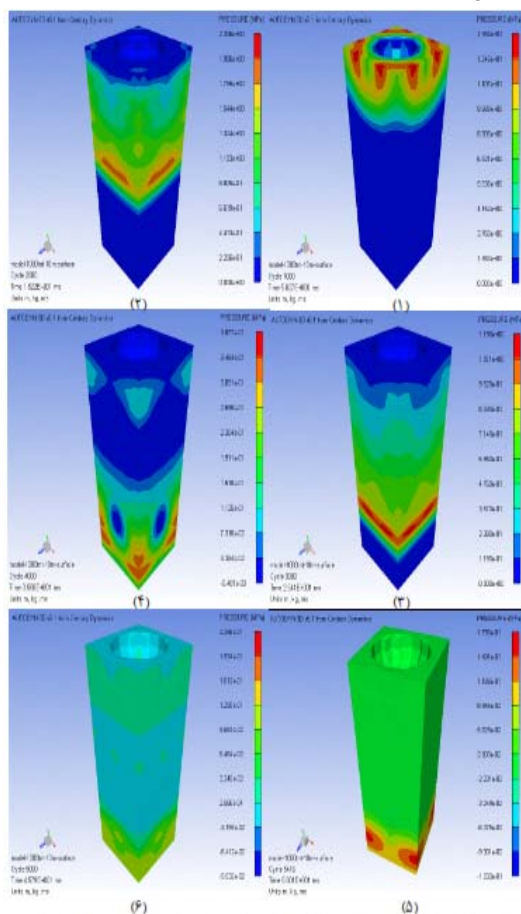


Fig. 2. Soil pressure variation under surface explosion in different times and steps of formation of explosive pits in numerical model

در روش عددی نتایج مربوط به المانی از سازه زیرزمینی است که در آن سقف و دیوارها بیشترین مقادیر بار را دریافت کردند. بررسی نتایج نشان می‌دهد، مقطعی از سازه زیرزمینی شامل مرکز سطح سقف سازه و دیوارهای کناری آن بیشترین مقدار بار را توسط سنجه‌های تعیین شده در مدل عددی دریافت می‌نماید. از این رو این المان در تمامی اعماق با توجه به شرایط بحرانی اعمال بار در نتایج در نظر گرفته شده است. در جدول (۴) نتایج بار معادل

تفسیر آمده است.

در مورد تغییرات بیشینه سرعت ذرهای نیز همراه با افزایش عمق دفن سازه میان نتایج سه روش هماهنگی وجود دارد. با توجه به داده‌های به دست آمده، روش عددی در محدوده نتایج تجربی آئین‌نامه و نیز روابط اسمیت قرار دارد.

جدول ۳. نتایج (PPV) به روش عددی، آئین‌نامه (TM5-855-1) و اسمیت با خرچ ۵۰۰ کیلوگرم TNT

Numerical	Smith	TM5-855-1	PPV (m/s)	Z ($m/kg^{1/3}$)	R (m)	W(kg)	No.
2/5	1/1	3	1/25	10			1
0/21	0/19	0/54	2/5	20			2
0/12	0/07	0/21	3/75	30		500	3
0/0321	0/0340	0/03	5	40			4

Table 3. Results of PPV with numerical, TM5-855-1 and smith method with 500 Kg TNT

۵- شبیه‌سازی و تحلیل عددی

۵-۱- تحلیل عددی سازه زیرزمینی

در این بخش با استفاده از نتایج حاصل از سنجه‌هایی که در مدل عددی روی سقف و دیوارهای خارجی سازه زیرزمینی قرار گرفته‌اند، بار وارد شده بر سازه زیرزمینی مورد مطالعه تحت اثر انفجار سطحی بررسی می‌شود.

۵-۲- تحلیل عددی اثر انفجار روی سازه زیرزمینی

شکل (۲) مراحل انفجار در مدل شبیه‌سازی شده با نرم‌افزار اتوداین در حین گذشت زمان را نشان می‌دهد.

با توجه به این شکل مشاهده می‌شود که در مدل عددی همزمان با آغاز انفجار چاله انفجاری حاصل از انفجار ماده منفجره در سطح زمین تشکیل می‌شود و به تدریج با گذشت زمان عمق و شعاع آن افزایش می‌یابد. این چاله انفجاری در تمامی مدل‌ها تا عمق $3/5$ متری و شعاع آن تا $2/99$ متر افزایش پیدا می‌کند.

همچنین با توجه به شکل می‌توان مشاهده نمود، امواج حاصل از انفجار ماده منفجره به صورت امواج کروی در

با یکدیگر هماهنگی بیشتری پیدا می‌کنند. علت اصلی اختلاف نتایج را می‌توان وارد کردن ضریب جفت شدگی $f=0.4$ مربوط به انفجار سطحی نامید.

حاصل از میانگین بارهای وارد شده بر طول وجود سازه برای هر دو روش عددی و آئین‌نامه (TM5-855-1) آمده است.

از نتایج جدول (۴) مشاهده می‌شود که مقادیر آئین‌نامه نسبت به روش عددی بزرگ‌تر بوده و با افزایش عمق دفن سازه

جدول ۴. مقایسه نتایج اعمال بارگذاری سازه زیرزمینی تحت اثر انفجار سطحی با خرج ۵۰۰ کیلوگرم TNT

<i>K_m</i>	TM5-855-1			AUTODYN				<i>R (m)</i>	<i>W(kg)</i>	No.
	Lateral load	1/5 coefficient	Regulations	Roof load	<i>K_{nu}</i>	Lateral load	Roof load			
0/58	1/74	4/5		3	0/65	1/5	2/3	10		1
0/75	0/3	0/6		0/4	0/6	0/22	0/37	20	500	2
0/82	0/14	0/27		0/18	0/67	0/11	0/16	30		3
0/86	0/086	0/15		0/1	0/73	0/065	0/089	40		4

Table 4. Results of surface explosion of underground structure with 500 Kg TNT

۵- نتیجه‌گیری

مقادیر فشار از مرتبه بزرگتری است. دلیل این امر آن است که در آئین‌نامه فرض بر این است که بررسی‌ها در محدوده انفجار کامل انجام بگیرد (ضریب جفت شدگی $f=1$)، در حالی که در مدل بررسی شده، انفجار در سطح مشترک هوا و خاک شکل گرفته است. از این رو ضریب جفت‌شدگی برابر ($f=0.4$) است. به عبارت دیگر عمق خرج انفجاری تقریباً صفر بوده و تفاوت اندکی بین نتایج آن‌ها وجود دارد.

(۴) با توجه به بررسی عددی صورت گرفته، از میان سنجه‌های نصب شده روی سازه زیرزمینی بیشترین مقادیر توسط سنجه‌هایی که در مرکز سطح سقف سازه قرار داشتند ثبت شد. همچنین پس از مرکز سقف، نقاط مربوط به رئوسرعت سقف و دیوارها بیشترین تأثیر را از انفجار دریافت می‌نمایند. با توجه به نتایج مربوط به بار وارد شده روی سقف سازه مشاهده شد که مقادیر آئین‌نامه امریکا نسبت به دو روش دیگر محافظه‌کارانه است. از این رو پیشنهاد می‌شود در طراحی‌های مطابق با این دستورالعمل ضریب افزایشی $1/5$ برابری بار وارد شده بر سازه اعمال نشود.

در این پژوهش آثار انفجار سطحی روی سازه زیرزمینی با استفاده از هیدروکد AUTODYN و نیز روش تئوری بررسی شد. در این راستا با استفاده از شبیه سازی عددی اثر بار وارد روی پوشش بتنی سازه زیرزمینی بررسی شد. همچنین نتایج عددی با آئین‌نامه ارتش امریکا و نیز روابط تحلیلی اسمنت و همکاران مقایسه شد. از مجموع مباحث مطرح شده می‌توان نتایج زیر را بیان نمود:

(۱) با توجه به بررسی پارامتری نتایج عددی با نتایج تحلیلی و آئین‌نامه مشاهده می‌شود که هیدروکد اتودان در تحلیل و بررسی پدیده انفجار در سازه‌های زیرزمینی نتایج قابل قبولی به دست می‌دهد.

(۲) با توجه به نتایج حاصل برای سازه زیرزمینی تحت بارگذاری انفجاری روش‌های عددی و تحلیلی با افزایش عمق دفن سازه با یکدیگر هماهنگی خوبی دارند.

(۳) امواج انفجار در خاک به شکل امواج نیم‌کره‌ای پیشروی می‌کنند. نتایج شبیه سازی عددی شامل بیشینه مقادیر فشار و سرعت ذره‌ای با مقادیر ارائه شده در آئین‌نامه (TM5-855-1) با یکدیگر مقایسه شدند. همان‌گونه که مشاهده شد مقادیر پیش‌بینی دستورالعمل ارتش امریکا برای بیشینه

۷. مراجع

- [14] Tiwari, R.; Chakraborty, T.; Matsagar, V. "Dynamic Analysis of Underground Tunnels Subjected to Internal Blast Loading;" World Congress on Computational Mechani (WCCM XI).Vol. 8,pp. 533-538. (2014).
- [15] Pandurangan, B. "Development, Parameterization and Validation of Dynamic Material Models for Soil and Transparent Armor Glass"; Ph.D. Thesis, Graduate School of Clemson Univ., (2009).
- [16] AUTODYN User Manual. s.l.: Century Dynamics Inc. Version13.0. (2015).
- [17] Rempling, R. "Concrete Wall Subjected to Fragment Impacts, Numerical Analyses of Perforation and Scabbing"; M.Sc. Thesis, Dep't of Structural Eng. Concrete Structures, Chalmers Univ. of Tech., Goteborg, Sweden, (2004)
- [1] Smith, P. D.; Hetherington, J. G.; Hetherington, J. H. "Blast and Ballistic Loading of Structures"; Oxford OX2: Butterworth-Heinemann Ltd; Linacre House, 8DP. (1994).
- [2] Bulson, S. P. "Explosive Loading of Engineering Structures". Chicago: USA Air Force Army, 1. (1997).
- [3] TM5-855-1. "Fundamentals of Protective Design for Conventional Weapon". Washington, DC: Department of U.S. Army Security Engineering, Technical Manual. (1986).
- [4] ASCE. "Design of Structures to Resist Nuclear Weapons Effects". Reston, American Society of Civil Engineering, Manual 42. (1985).
- [5] Taghavi parsa, M.H. "Analysis and Survey of Surface and Subsurface Explosion Effects on Underground Structures Using Numerical Simulation and Semi-Analytical Method"; Ms.c. Thesis, Department of Passive Defense, Imam Hussein University, (2016). ("In Persian ")
- [6] Clutter J.K.; Stahl M. "Hydrocode Simulations of Air and Water Shocks for Facility Vulnerability Assessments". (2004).
- [7] Ambrosini D.; Anesib R.D. "Blast Load Assessment Using Hydrocodes"; 10, Boston, Vol. 2. 1. (2007).
- [8] Henrych, J. "The Dynamics of Explosion and Its Use". Amsterdam: Elsevier, 1. (1979).
- [9] Borgers J.B.W.; Vantomme J. "Towards a Parametric Model of a Planar Blast Wave Created with Detonating Cord". (2006).
- [10] Lucksone. "Numerical Results-Based Review of the Hole Created by the Explosion in the Soil"; International Journal of Impact Engineering. (2008).
- [11] Anirbon. "The Tunnel in Soil Subjected to Blast Load Using 2D and 3D Numerical Simulations"; South Univ.Technol:Vol.18, 3. pp. 917-924. (2011).
- [12] Yang, Y.; Xie, X Wang, R.; "Numerical Simulation of Dynamic Response of Operating Metro Tunnel Induced by Ground Explosion "; Journal of Rock Mechanics and Geotechnical Engineering . China.Vol .2(4), pp.373-384. (2010)
- [13] Mazek, S.A.; Almannaei, H.A.; "Finite element model of Cairo metro tunnel-Line3 Performance"; J. Ain Shams Engineering. Cairo, Egypt. Vol. 4, pp.709-716. (2013).

Analysis of explosion loading on underground structures under surface explosion

Abstract

Most of underground structures are designed and built to withstand the effects of precision penetrating weapons and heavy bombs in the soil. Usually the depth of the structures is high and there is no possibility of missiles to the main structure. Accordingly, the design of these structures is performed for blast loads. The explosion phenomenon is a type of high strain rate problem that requires dynamic analysis to solve. Also, due to the interaction between underground structures and soil, the analysis of these structures is affected by any type of nonlinear analysis. Thus, the analysis of underground structures in simulations affected by the explosion is a high strain rate problem that requires nonlinear dynamic analysis. There are two implicit and explicit solutions to dynamic analysis that, given the explosion problems, their analysis is explicitly integral. The loading of underground structures is often based on the relationships obtained from theoretical and experimental research. Currently, the most important reference for explosive loading in the field of underground structures is the US code (TM5-855-1) provided by the US army. The numerical simulation methods have recently been widely used as a novel method in the calculation of nonlinear dynamic loads. According to the researchers, among the explicit software available in AUTODYN software, due to its ability to solve very high strain rate problems, it yields good results from simulation and explosion problem analysis. On the other hand, the explosive loading of underground structures is often based on theoretical and empirical research. In this study, a numerical simulation method was used to analyze and simulate the effect of the surface explosion on the underground structure. Also, all the simulation steps were performed using AUTODYN hydrocode. In order to analyze the loading and response of underground structures, the effect of the explosive charge weight and the depth of burial of the structure has been studied and the numerical results have been compared with the relationships presented in reliable US scientific and guidance sources. Finally, suggestions are made to improve the loading of these structures. Also, considering the results of the load on the roof of the structure, it was observed that the values of the US code are conservative compared to the other two methods. Therefore, it is recommended not to apply 1.5 incremental coefficient load to the structure in accordance with this instruction. The numerical simulation results including a comparison of maximum pressure and the velocity values with the values provided in the by code (TM5-855-1) showed that the predicted values for the maximum pressure values larger than of instructions America's Army. The reason for this is that the code assumes that the investigations take place in the full explosion range (mating coefficient $f = 1$), while in the numerical model under consideration, the explosion is formed at the joint surface of air and soil. Hence the coupling coefficient is equal to ($f = 0.4$). In other words, the depth of the explosive charge is almost zero and there is little difference between the results.

Keywords:Underground structures, Explosion loading, Surface explosion, Ground-shock parameters,